

Мобильная робототехника

Решение задачи SLAM с
помощью расширенного
фильтра Калмана

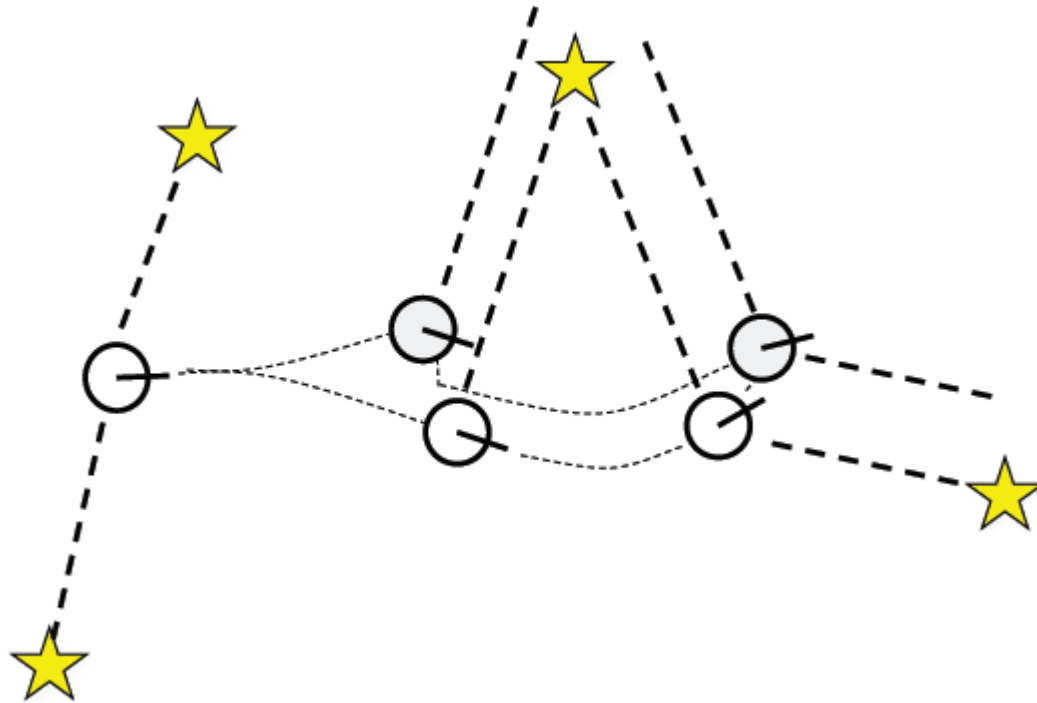


SLAM

- SLAM (Simultaneous Localization and Mapping)
– Одновременная локализация и картографирование
- Локализация – определение местоположения робота
- Картографирование – построение карты (модели) рабочей области

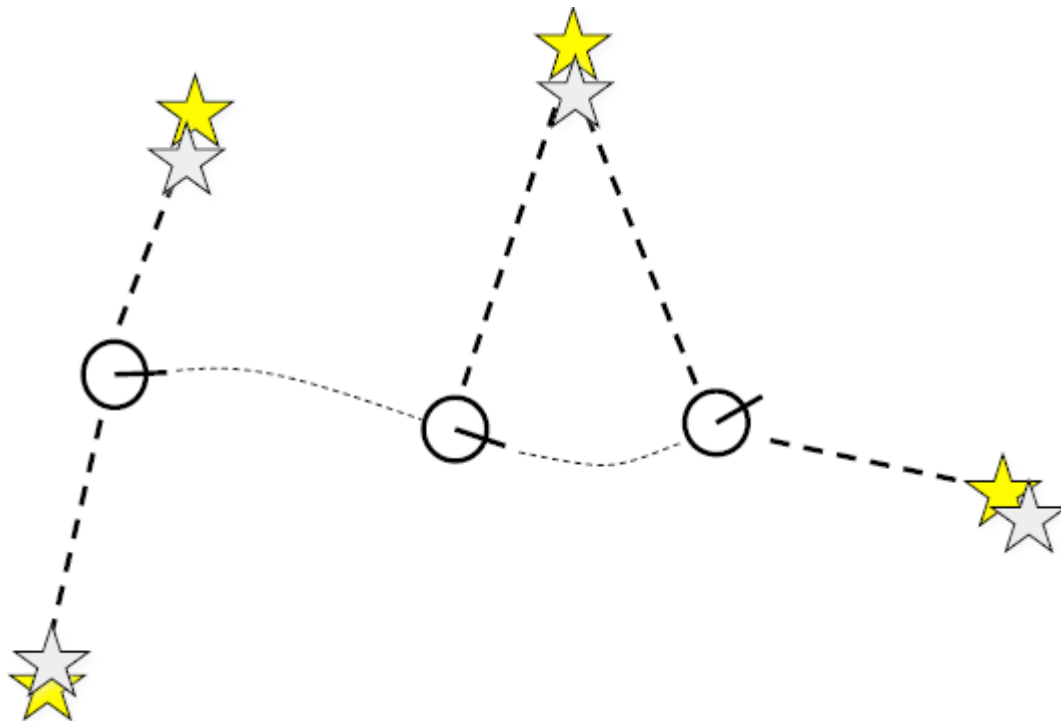
Пример локализации

- Определение координат робота при известных координатах ориентиров



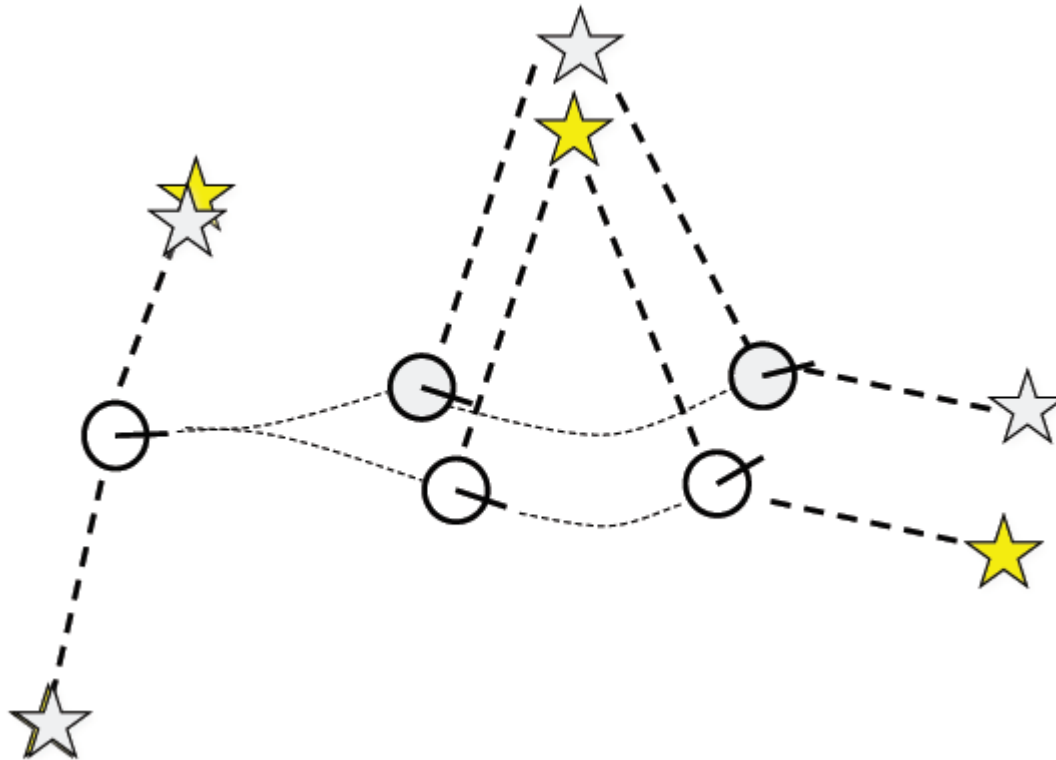
Пример картографирования

- Определение координат ориентиров при известном положении робота



SLAM пример

- Определение координат ориентиров и робота одновременно



SLAM постановка задачи

- Дано

- Последовательность управляющих команд

$$u_{1:T} = \{u_1, u_2, u_3 \dots, u_T\}$$

- Последовательность измерений

$$z_{1:T} = \{z_1, z_2, z_3 \dots, z_T\}$$

- Найти

- Карту рабочей области

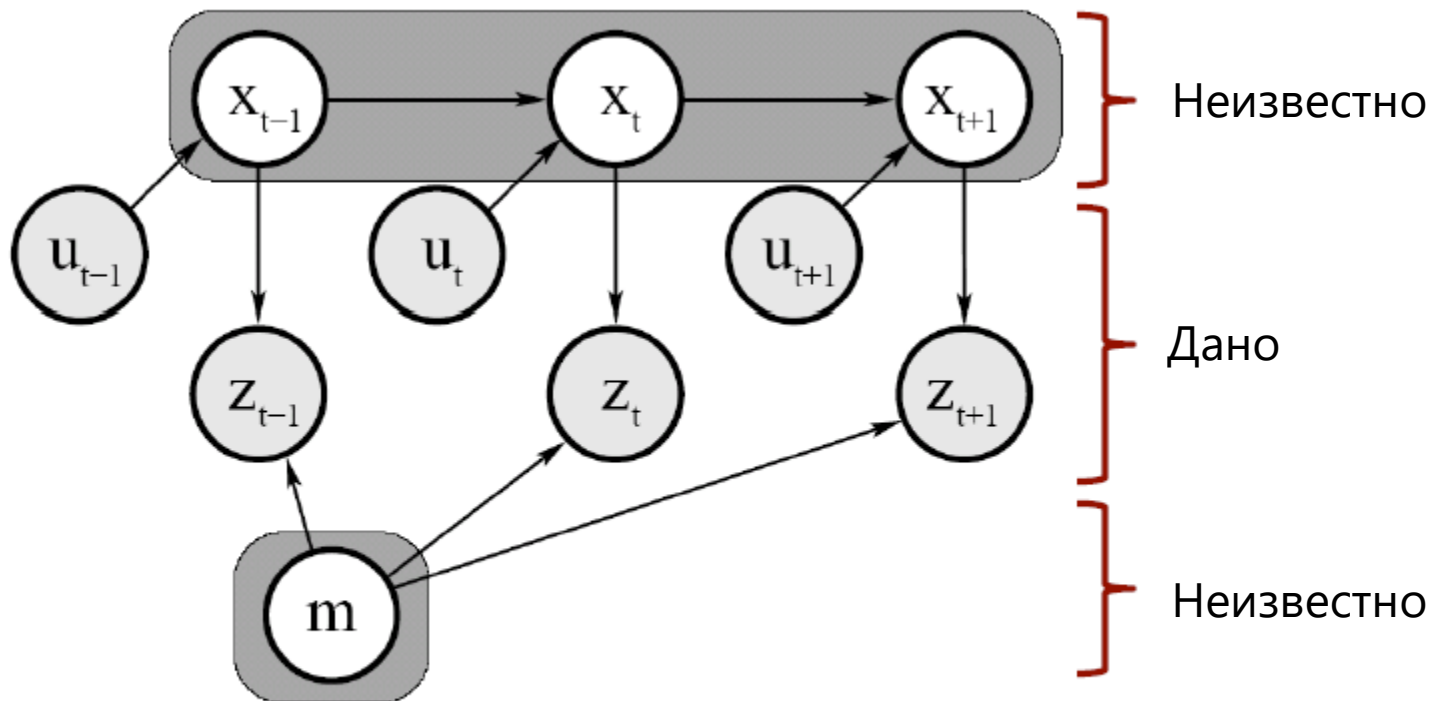
$$m$$

- Траектория движения робота

$$x_{0:T} = \{x_0, x_1, x_2 \dots, x_T\}$$

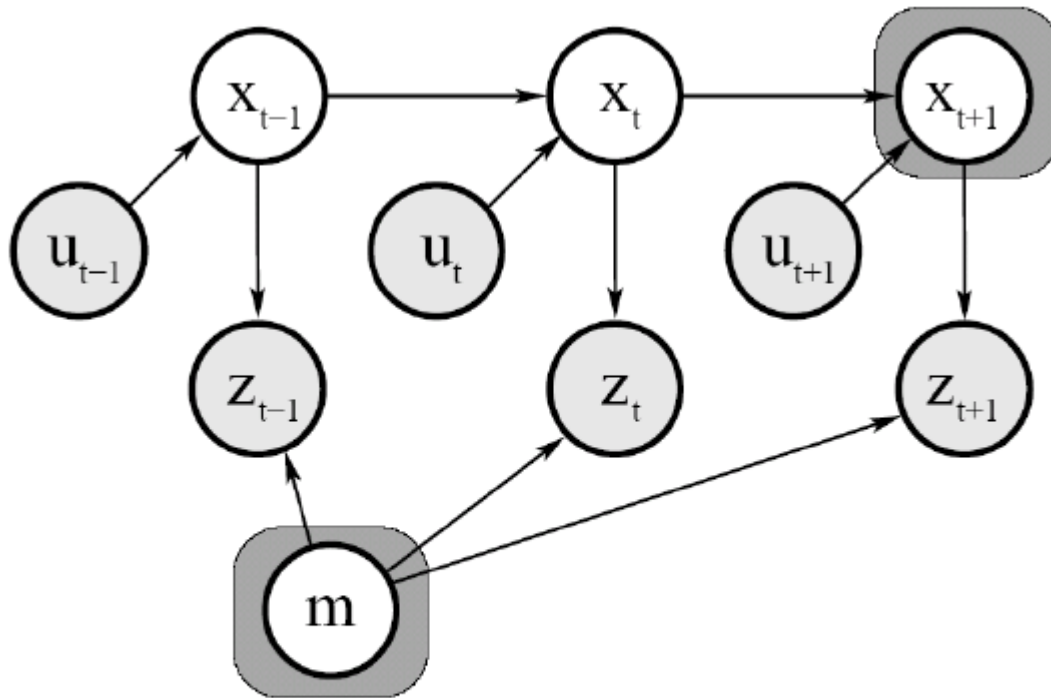
$$p(x_{0:T}, m \mid z_{1:T}, u_{1:T})$$

SLAM



$$p(x_{0:T}, m \mid z_{1:T}, u_{1:T})$$

Онлайн SLAM



$$p(x_{t+1}, m \mid z_{1:t+1}, u_{1:t+1})$$

Фильтр Байеса

$$bel(x_t) = \eta p(z_t | x_t) \int p(x_t | x_{t-1}, u_t) bel(x_{t-1}) dx_{t-1}$$

- Экстраполяция :

$$\overline{bel}(x_t) = \int p(x_t | u_t, x_{t-1}) bel(x_{t-1}) dx_{t-1}$$

- Коррекция:

$$bel(x_t) = \eta p(z_t | x_t) \overline{bel}(x_t)$$

Расширенный фильтр Калмана

- 1: **Extended_Kalman_filter**($\mu_{t-1}, \Sigma_{t-1}, u_t, z_t$):
- 2: $\bar{\mu}_t = \underline{g(u_t, \mu_{t-1})}$
- 3: $\bar{\Sigma}_t = G_t \Sigma_{t-1} G_t^T + R_t$
- 4: $K_t = \bar{\Sigma}_t H_t^T (H_t \bar{\Sigma}_t H_t^T + Q_t)^{-1}$
- 5: $\mu_t = \bar{\mu}_t + K_t(z_t - \underline{h(\bar{\mu}_t)})$
- 6: $\Sigma_t = (I - K_t H_t) \bar{\Sigma}_t$
- 7: **return** μ_t, Σ_t

$$A_t \leftrightarrow G_t$$

$$C_t \leftrightarrow H_t$$

Онлайн SLAM. Расширенный фильтр Калмана

- Определение координат ориентиров и робота
- Вектор состояния:

$$x_t = \left(\underbrace{x, y, \theta}_{\text{Положение робота}}, \underbrace{m_{1,x}, m_{1,y}, \dots, m_{n,x}, m_{n,y}}_{\text{Положение ориентира 1}}, \underbrace{\phantom{m_{1,x}, m_{1,y}, \dots, m_{n,x}, m_{n,y}}}_{\text{Положение ориентира } n} \right)^T$$

Оценка Вектора состояния

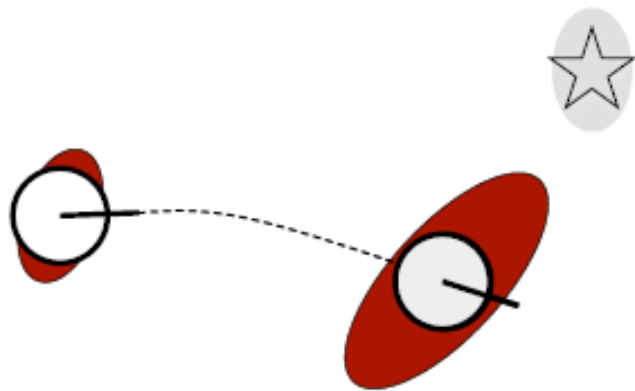
- Карта содержит n ориентиров
- Оценка состояния - Нормальное распределение размерности $3+2n$

$$\underbrace{\begin{pmatrix} x \\ m \end{pmatrix}}_{\mu} \quad \underbrace{\begin{pmatrix} \Sigma_{xx} & \Sigma_{xm} \\ \Sigma_{mx} & \Sigma_{mm} \end{pmatrix}}_{\Sigma}$$

Рабочий цикл фильтра

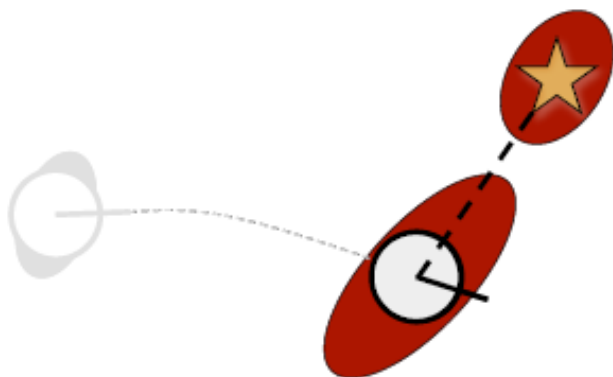
- Экстраполяция вектора состояния
- Вычисление ожидаемого измерения
- Измерение
- Объединение данных
- Обновление

Экстраполяция вектора состояния



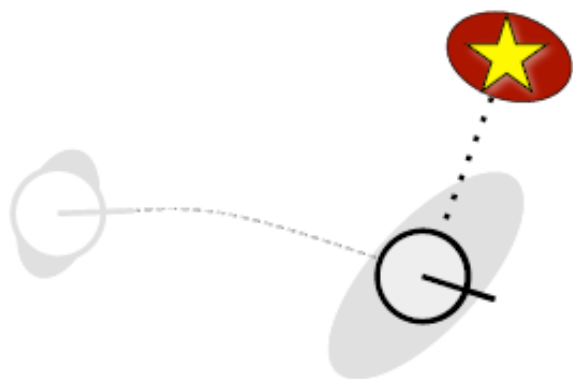
$$\underbrace{\begin{pmatrix} x_R \\ m_1 \\ \vdots \\ m_n \end{pmatrix}}_{\mu} \quad \underbrace{\begin{pmatrix} \Sigma_{x_R x_R} & \Sigma_{x_R m_1} & \dots & \Sigma_{x_R m_n} \\ \Sigma_{m_1 x_R} & \Sigma_{m_1 m_1} & \dots & \Sigma_{m_1 m_n} \\ \vdots & \vdots & \ddots & \vdots \\ \Sigma_{m_n x_R} & \Sigma_{m_n m_1} & \dots & \Sigma_{m_n m_n} \end{pmatrix}}_{\Sigma}$$

Ожидаемое измерение



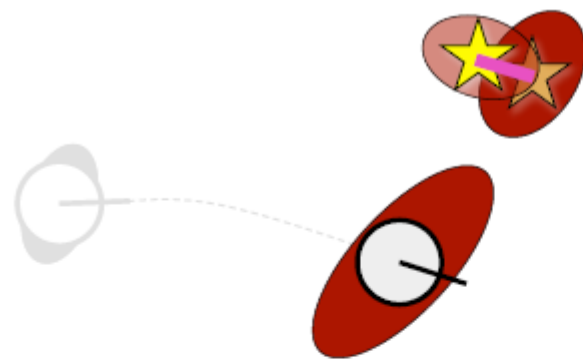
$$\underbrace{\begin{pmatrix} x_R \\ m_1 \\ \vdots \\ m_n \end{pmatrix}}_{\mu} \quad \underbrace{\begin{pmatrix} \Sigma x_R x_R & \Sigma x_R m_1 & \dots & \Sigma x_R m_n \\ \Sigma m_1 x_R & \Sigma m_1 m_1 & \dots & \Sigma m_1 m_n \\ \vdots & \vdots & \ddots & \vdots \\ \Sigma m_n x_R & \Sigma m_n m_1 & \dots & \Sigma m_n m_n \end{pmatrix}}_{\Sigma}$$

Измерение



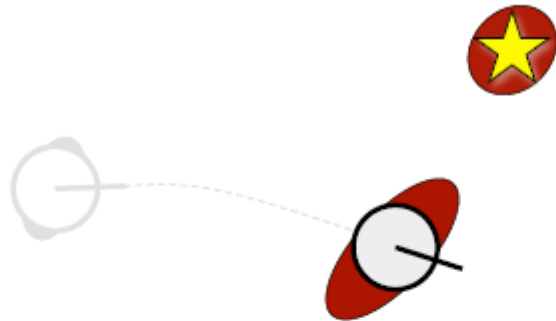
$$\underbrace{\begin{pmatrix} x_R \\ m_1 \\ \vdots \\ m_n \end{pmatrix}}_{\mu} \quad \underbrace{\begin{pmatrix} \sum x_R x_R & \sum x_R m_1 & \dots & \sum x_R m_n \\ \sum m_1 x_R & \sum m_1 m_1 & \dots & \sum m_1 m_n \\ \vdots & \vdots & \ddots & \vdots \\ \sum m_n x_R & \sum m_n m_1 & \dots & \sum m_n m_n \end{pmatrix}}_{\Sigma}$$

Объединение данных



$$\underbrace{\begin{pmatrix} x_R \\ m_1 \\ \vdots \\ m_n \end{pmatrix}}_{\mu} \quad \underbrace{\begin{pmatrix} \Sigma x_R x_R & \Sigma x_R m_1 & \dots & \Sigma x_R m_n \\ \Sigma m_1 x_R & \Sigma m_1 m_1 & \dots & \Sigma m_1 m_n \\ \vdots & \vdots & \ddots & \vdots \\ \Sigma m_n x_R & \Sigma m_n m_1 & \dots & \Sigma m_n m_n \end{pmatrix}}_{\Sigma}$$

Обновление



$$\underbrace{\begin{pmatrix} x_R \\ m_1 \\ \vdots \\ m_n \end{pmatrix}}_{\mu} \quad \underbrace{\begin{pmatrix} \Sigma_{x_R x_R} & \Sigma_{x_R m_1} & \dots & \Sigma_{x_R m_n} \\ \Sigma_{m_1 x_R} & \Sigma_{m_1 m_1} & \dots & \Sigma_{m_1 m_n} \\ \vdots & \vdots & \ddots & \vdots \\ \Sigma_{m_n x_R} & \Sigma_{m_n m_1} & \dots & \Sigma_{m_n m_n} \end{pmatrix}}_{\Sigma}$$

Пример

- Робот движется по плоскости
- Скоростная модель движения
- Робот может различать ориентиры
- Известно количество ориентиров

Инициализация

- Робот начинает движения из начала координат
- Ни один ориентир не известен
- Размерность $2N+3$

$$\mu_0 = (0 \ 0 \ 0 \ \dots \ 0)^T$$

$$\Sigma_0 = \begin{pmatrix} 0 & 0 & 0 & 0 & \dots & 0 \\ 0 & 0 & 0 & 0 & \dots & 0 \\ 0 & 0 & 0 & 0 & \dots & 0 \\ 0 & 0 & 0 & \infty & \dots & 0 \\ \vdots & \vdots & \vdots & \vdots & \ddots & \vdots \\ 0 & 0 & 0 & 0 & \dots & \infty \end{pmatrix}$$

Расширенный фильтр Калмана

1: **Extended_Kalman_filter**($\mu_{t-1}, \Sigma_{t-1}, u_t, z_t$):

2: $\bar{\mu}_t = \text{g}(u_t, \mu_{t-1})$

3: $\bar{\Sigma}_t = G_t \Sigma_{t-1} G_t^T + R_t$

4: $K_t = \bar{\Sigma}_t H_t^T (H_t \bar{\Sigma}_t H_t^T + Q_t)^{-1}$

5: $\mu_t = \bar{\mu}_t + K_t(z_t - h(\bar{\mu}_t))$

6: $\Sigma_t = (I - K_t H_t) \bar{\Sigma}_t$

7: *return* μ_t, Σ_t

Этап экстраполяции

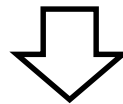
- Необходимо обновить вектор состояния согласно модели движения

$$\begin{pmatrix} x' \\ y' \\ \theta' \end{pmatrix} = \underbrace{\begin{pmatrix} x \\ y \\ \theta \end{pmatrix} + \begin{pmatrix} -\frac{v_t}{\omega_t} \sin \theta + \frac{v_t}{\omega_t} \sin(\theta + \omega_t \Delta t) \\ \frac{v_t}{\omega_t} \cos \theta - \frac{v_t}{\omega_t} \cos(\theta + \omega_t \Delta t) \\ \omega_t \Delta t \end{pmatrix}}_{g_{x,y,\theta}(u_t, (x,y,\theta)^T)}$$

Этап экстраполяции


- Приведение к размерности $2N+3$

$$\begin{pmatrix} x' \\ y' \\ \theta' \end{pmatrix} = \underbrace{\begin{pmatrix} x \\ y \\ \theta \end{pmatrix} + \begin{pmatrix} -\frac{v_t}{\omega_t} \sin \theta + \frac{v_t}{\omega_t} \sin(\theta + \omega_t \Delta t) \\ \frac{v_t}{\omega_t} \cos \theta - \frac{v_t}{\omega_t} \cos(\theta + \omega_t \Delta t) \\ \omega_t \Delta t \end{pmatrix}}_{g_{x,y,\theta}(u_t, (x,y,\theta)^T)}$$



$$\begin{pmatrix} x' \\ y' \\ \theta' \\ \vdots \end{pmatrix} = \underbrace{\begin{pmatrix} x \\ y \\ \theta \\ \vdots \end{pmatrix} + \underbrace{\begin{pmatrix} 1 & 0 & 0 & 0 \dots 0 \\ 0 & 1 & 0 & 0 \dots 0 \\ 0 & 0 & 1 & \underbrace{0 \dots 0}_{2N \text{ cols}} \end{pmatrix}^T}_{F_x^T} \begin{pmatrix} -\frac{v_t}{\omega_t} \sin \theta + \frac{v_t}{\omega_t} \sin(\theta + \omega_t \Delta t) \\ \frac{v_t}{\omega_t} \cos \theta - \frac{v_t}{\omega_t} \cos(\theta + \omega_t \Delta t) \\ \omega_t \Delta t \end{pmatrix}}_{g(u_t, x_t)}$$

Расширенный фильтр Калмана

- 1: **Extended_Kalman_filter**($\mu_{t-1}, \Sigma_{t-1}, u_t, z_t$):
- 2: ~~$\bar{\mu}_t = g(u_t, \mu_{t-1})$~~
- 3: $\bar{\Sigma}_t = G_t \Sigma_{t-1} G_t^T + R_t$

- 4: $K_t = \bar{\Sigma}_t H_t^T (H_t \bar{\Sigma}_t H_t^T + Q_t)^{-1}$
- 5: $\mu_t = \bar{\mu}_t + K_t(z_t - h(\bar{\mu}_t))$
- 6: $\Sigma_t = (I - K_t H_t) \bar{\Sigma}_t$
- 7: *return* μ_t, Σ_t

Нахождение матрицы ковариации

- Функция g оказывает влияние только на движение робота.

$$G_t = \begin{pmatrix} G_t^x & 0 \\ 0 & I \end{pmatrix}$$

Нахождение матрицы Якоби


$$\begin{aligned} G_t^x &= \frac{\partial}{\partial(x, y, \theta)^T} \left[\begin{pmatrix} x \\ y \\ \theta \end{pmatrix} + \begin{pmatrix} -\frac{v_t}{\omega_t} \sin \theta + \frac{v_t}{\omega_t} \sin(\theta + \omega_t \Delta t) \\ \frac{v_t}{\omega_t} \cos \theta - \frac{v_t}{\omega_t} \cos(\theta + \omega_t \Delta t) \\ \omega_t \Delta t \end{pmatrix} \right] \\ &= I + \frac{\partial}{\partial(x, y, \theta)^T} \begin{pmatrix} -\frac{v_t}{\omega_t} \sin \theta + \frac{v_t}{\omega_t} \sin(\theta + \omega_t \Delta t) \\ \frac{v_t}{\omega_t} \cos \theta - \frac{v_t}{\omega_t} \cos(\theta + \omega_t \Delta t) \\ \omega_t \Delta t \end{pmatrix} \\ &= I + \begin{pmatrix} 0 & 0 & -\frac{v_t}{\omega_t} \cos \theta + \frac{v_t}{\omega_t} \cos(\theta + \omega_t \Delta t) \\ 0 & 0 & -\frac{v_t}{\omega_t} \sin \theta + \frac{v_t}{\omega_t} \sin(\theta + \omega_t \Delta t) \\ 0 & 0 & 0 \end{pmatrix} \\ &= \begin{pmatrix} 1 & 0 & -\frac{v_t}{\omega_t} \cos \theta + \frac{v_t}{\omega_t} \cos(\theta + \omega_t \Delta t) \\ 0 & 1 & -\frac{v_t}{\omega_t} \sin \theta + \frac{v_t}{\omega_t} \sin(\theta + \omega_t \Delta t) \\ 0 & 0 & 1 \end{pmatrix} \end{aligned}$$

Нахождение матрицы ковариации

1: **Extended_Kalman_filter**($\mu_{t-1}, \Sigma_{t-1}, u_t, z_t$):

2: $\bar{\mu}_t = g(u_t, \mu_{t-1})$

3: $\Rightarrow \bar{\Sigma}_t = G_t \Sigma_{t-1} G_t^T + R_t$


$$\begin{aligned}\bar{\Sigma}_t &= G_t \Sigma_{t-1} G_t^T + R_t \\ &= \begin{pmatrix} G_t^x & 0 \\ 0 & I \end{pmatrix} \begin{pmatrix} \Sigma_{xx} & \Sigma_{xm} \\ \Sigma_{mx} & \Sigma_{mm} \end{pmatrix} \begin{pmatrix} (G_t^x)^T & 0 \\ 0 & I \end{pmatrix} + R_t \\ &= \begin{pmatrix} G_t^x \Sigma_{xx} (G_t^x)^T & G_t^x \Sigma_{xm} \\ (G_t^x \Sigma_{xm})^T & \Sigma_{mm} \end{pmatrix} + R_t\end{aligned}$$

Этап экстраполяции

EKF_SLAM_Prediction($\mu_{t-1}, \Sigma_{t-1}, u_t, z_t, c_t, R_t$):

$$2: \quad F_x = \begin{pmatrix} 1 & 0 & 0 & 0 \cdots 0 \\ 0 & 1 & 0 & 0 \cdots 0 \\ 0 & 0 & 1 & 0 \cdots 0 \end{pmatrix}$$


$$3: \quad \bar{\mu}_t = \mu_{t-1} + F_x^T \begin{pmatrix} -\frac{v_t}{\omega_t} \sin \mu_{t-1, \theta} + \frac{v_t}{\omega_t} \sin(\mu_{t-1, \theta} + \omega_t \Delta t) \\ \frac{v_t}{\omega_t} \cos \mu_{t-1, \theta} - \frac{v_t}{\omega_t} \cos(\mu_{t-1, \theta} + \omega_t \Delta t) \\ \omega_t \Delta t \end{pmatrix}$$

$$4: \quad G_t = I + F_x^T \begin{pmatrix} 0 & 0 & -\frac{v_t}{\omega_t} \cos \mu_{t-1, \theta} + \frac{v_t}{\omega_t} \cos(\mu_{t-1, \theta} + \omega_t \Delta t) \\ 0 & 0 & -\frac{v_t}{\omega_t} \sin \mu_{t-1, \theta} + \frac{v_t}{\omega_t} \sin(\mu_{t-1, \theta} + \omega_t \Delta t) \\ 0 & 0 & 0 \end{pmatrix} F_x$$

$$5: \quad \bar{\Sigma}_t = G_t \Sigma_{t-1} G_t^T + \underbrace{F_x^T R_t^x F_x}_{R_t}$$

Расширенный фильтр Калмана

```
1:  Extended_Kalman_filter( $\mu_{t-1}, \Sigma_{t-1}, u_t, z_t$ ):  
2:   $\bar{\mu}_t = g(u_t, \mu_{t-1})$   
3:   $\bar{\Sigma}_t = G_t \Sigma_{t-1} G_t^T + R_t$   
4:   $K_t = \bar{\Sigma}_t H_t^T (H_t \bar{\Sigma}_t H_t^T + Q_t)^{-1}$   
5:   $\mu_t = \bar{\mu}_t + K_t (z_t - h(\bar{\mu}_t))$   
6:   $\Sigma_t = (I - K_t H_t) \bar{\Sigma}_t$   
7:  return  $\mu_t, \Sigma_t$ 
```



Измерение

- Получение измерения $z_t^i = (r_t^i, \phi_t^i)^T$
- Если ориентир обнаружен впервые

$$\begin{pmatrix} \bar{\mu}_{j,x} \\ \bar{\mu}_{j,y} \end{pmatrix} = \begin{pmatrix} \bar{\mu}_{t,x} \\ \bar{\mu}_{t,y} \end{pmatrix} + \begin{pmatrix} r_t^i \cos(\phi_t^i + \bar{\mu}_{t,\theta}) \\ r_t^i \sin(\phi_t^i + \bar{\mu}_{t,\theta}) \end{pmatrix}$$

Ожидаемое измерение

- Вычисление ожидаемого измерения

$$\delta = \begin{pmatrix} \delta_x \\ \delta_y \end{pmatrix} = \begin{pmatrix} \bar{\mu}_{j,x} - \bar{\mu}_{t,x} \\ \bar{\mu}_{j,y} - \bar{\mu}_{t,y} \end{pmatrix}$$

$$q = \delta^T \delta$$

$$\begin{aligned} \hat{z}_t^i &= \begin{pmatrix} \sqrt{q} \\ \text{atan2}(\delta_y, \delta_x) - \bar{\mu}_{t,\theta} \end{pmatrix} \\ &= h(\bar{\mu}_t) \end{aligned}$$

Матрица Якоби для измерения

$$\delta = \begin{pmatrix} \delta_x \\ \delta_y \end{pmatrix} = \begin{pmatrix} \bar{\mu}_{j,x} - \bar{\mu}_{t,x} \\ \bar{\mu}_{j,y} - \bar{\mu}_{t,y} \end{pmatrix}$$

$$q = \delta^T \delta$$

$$\begin{aligned} \hat{z}_t^i &= \begin{pmatrix} \sqrt{q} \\ \text{atan2}(\delta_y, \delta_x) - \bar{\mu}_{t,\theta} \end{pmatrix} \\ &= h(\bar{\mu}_t) \end{aligned}$$

$${}^{\text{low}} H_t^i \quad (x, y, \theta, m_{j,x}, m_{j,y})$$

$$\begin{aligned} {}^{\text{low}} H_t^i &= \frac{\partial h(\bar{\mu}_t)}{\partial \bar{\mu}_t} & \frac{\partial \sqrt{q}}{\partial x} &= \frac{1}{2} \frac{1}{\sqrt{q}} 2 \delta_x (-1) \\ &= \begin{pmatrix} \frac{\partial \sqrt{q}}{\partial x} & \frac{\partial \sqrt{q}}{\partial y} & \dots \\ \frac{\partial \text{atan2}(\dots)}{\partial x} & \frac{\partial \text{atan2}(\dots)}{\partial y} & \dots \end{pmatrix} & &= \frac{1}{q} (-\sqrt{q} \delta_x) \end{aligned}$$

$$\begin{aligned} {}^{\text{low}} H_t^i &= \frac{\partial h(\bar{\mu}_t)}{\partial \bar{\mu}_t} \\ &= \frac{1}{q} \begin{pmatrix} -\sqrt{q} \delta_x & -\sqrt{q} \delta_y & 0 & +\sqrt{q} \delta_x & \sqrt{q} \delta_y \\ \delta_y & -\delta_x & -q & -\delta_y & \delta_x \end{pmatrix} \end{aligned}$$

Матрица Якоби для измерения

- Приведение к размерности $2N+3$

$${}^{\text{low}}H_t^i = \frac{1}{q} \begin{pmatrix} -\sqrt{q}\delta_x & -\sqrt{q}\delta_y & 0 & +\sqrt{q}\delta_x & \sqrt{q}\delta_y \\ \delta_y & -\delta_x & -q & -\delta_y & \delta_x \end{pmatrix}$$

$$H_t^i = {}^{\text{low}}H_t^i F_{x,j}$$

\downarrow
 $F_{x,j} =$

$$\begin{pmatrix} 1 & 0 & 0 & 0 \dots 0 & 0 & 0 & 0 \dots 0 \\ 0 & 1 & 0 & 0 \dots 0 & 0 & 0 & 0 \dots 0 \\ 0 & 0 & 1 & 0 \dots 0 & 0 & 0 & 0 \dots 0 \\ 0 & 0 & 0 & 0 \dots 0 & 1 & 0 & 0 \dots 0 \\ 0 & 0 & 0 & \underbrace{0 \dots 0}_{2j-2} & 0 & 1 & \underbrace{0 \dots 0}_{2N-2j} \end{pmatrix}$$

Расширенный фильтр Калмана

1: `Extended_Kalman_filter`($\mu_{t-1}, \Sigma_{t-1}, u_t, z_t$):


2: ~~$\bar{\mu}_t = g(u_t, \mu_{t-1})$~~ **DONE**

3: ~~$\bar{\Sigma}_t = G_t \Sigma_{t-1} G_t^T + R_t$~~ **DONE**

4: ~~$K_t = \bar{\Sigma}_t H_t^T (H_t \bar{\Sigma}_t H_t^T + Q_t)^{-1}$~~

5: ~~$\mu_t = \bar{\mu}_t + K_t(z_t - h(\bar{\mu}_t))$~~

6: ~~$\Sigma_t = (I - K_t H_t) \bar{\Sigma}_t$~~

7:  `return` μ_t, Σ_t

Этап коррекции

EKF_SLAM_Correction

```
6:   $Q_t = \begin{pmatrix} \sigma_r^2 & 0 \\ 0 & \sigma_\phi^2 \end{pmatrix}$ 
7:  for all observed features  $z_t^i = (r_t^i, \phi_t^i)^T$  do
8:     $j = c_t^i$ 
9:    if landmark  $j$  never seen before
10:       $\begin{pmatrix} \bar{\mu}_{j,x} \\ \bar{\mu}_{j,y} \end{pmatrix} = \begin{pmatrix} \bar{\mu}_{t,x} \\ \bar{\mu}_{t,y} \end{pmatrix} + \begin{pmatrix} r_t^i \cos(\phi_t^i + \bar{\mu}_{t,\theta}) \\ r_t^i \sin(\phi_t^i + \bar{\mu}_{t,\theta}) \end{pmatrix}$ 
11:    endif
12:     $\delta = \begin{pmatrix} \delta_x \\ \delta_y \end{pmatrix} = \begin{pmatrix} \bar{\mu}_{j,x} - \bar{\mu}_{t,x} \\ \bar{\mu}_{j,y} - \bar{\mu}_{t,y} \end{pmatrix}$ 
13:     $q = \delta^T \delta$ 
14:     $\hat{z}_t^i = \begin{pmatrix} \sqrt{q} \\ \text{atan2}(\delta_y, \delta_x) - \bar{\mu}_{t,\theta} \end{pmatrix}$ 
```

Этап коррекции

```

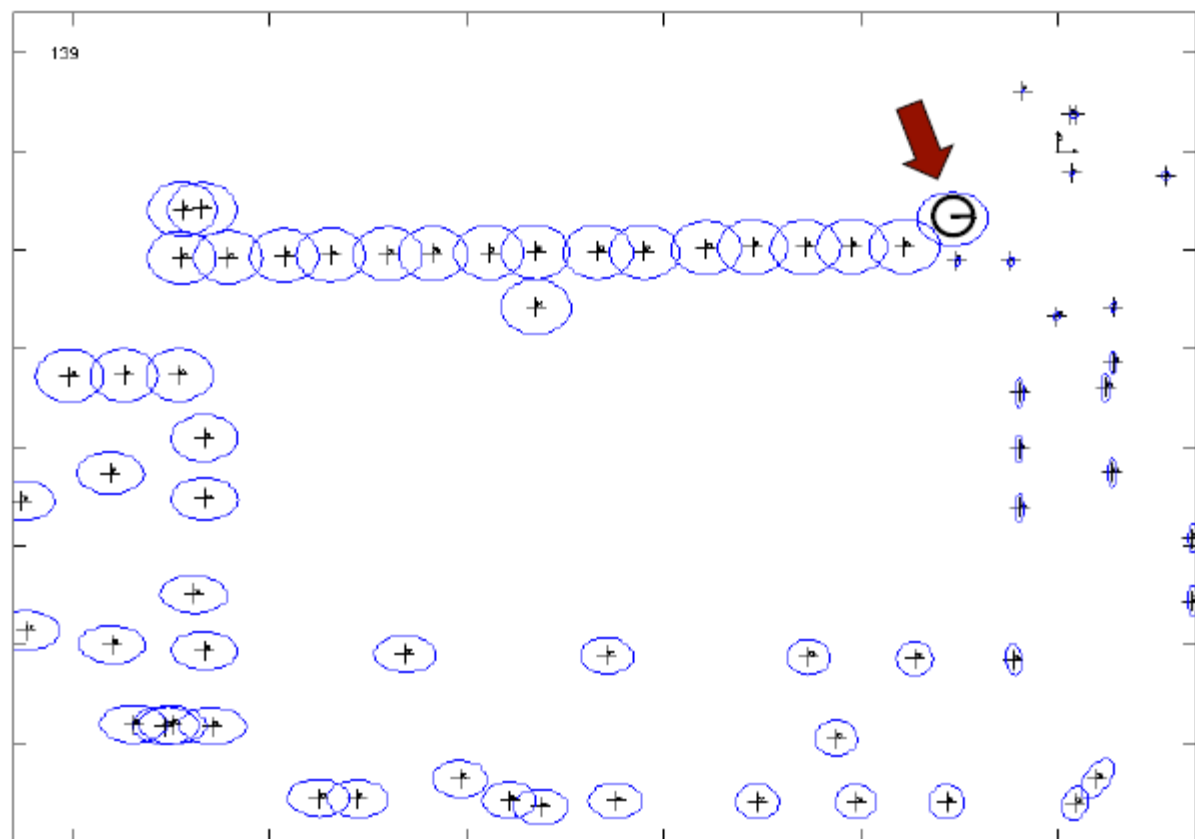
15:    $F_{x,j} = \begin{pmatrix} 1 & 0 & 0 & 0 \dots 0 & 0 & 0 & 0 \dots 0 \\ 0 & 1 & 0 & 0 \dots 0 & 0 & 0 & 0 \dots 0 \\ 0 & 0 & 1 & 0 \dots 0 & 0 & 0 & 0 \dots 0 \\ 0 & 0 & 0 & 0 \dots 0 & 1 & 0 & 0 \dots 0 \\ 0 & 0 & 0 & \underbrace{0 \dots 0}_{2j-2} & 0 & 1 & \underbrace{0 \dots 0}_{2N-2j} \end{pmatrix}$ 
16:    $H_t^i = \frac{1}{q} \begin{pmatrix} -\sqrt{q}\delta_x & -\sqrt{q}\delta_y & 0 & +\sqrt{q}\delta_x & \sqrt{q}\delta_y \\ \delta_y & -\delta_x & -q & -\delta_y & +\delta_x \end{pmatrix} F_{x,j}$ 
17:    $K_t^i = \bar{\Sigma}_t H_t^{iT} (H_t^i \bar{\Sigma}_t H_t^{iT} + Q_t)^{-1}$ 
18:    $\bar{\mu}_t = \bar{\mu}_t + K_t^i (z_t^i - \hat{z}_t^i)$ 
19:    $\bar{\Sigma}_t = (I - K_t^i H_t^i) \bar{\Sigma}_t$ 
20: endfor
21:  $\mu_t = \bar{\mu}_t$ 
22:  $\Sigma_t = \bar{\Sigma}_t$ 
23: return  $\mu_t, \Sigma_t$ 

```

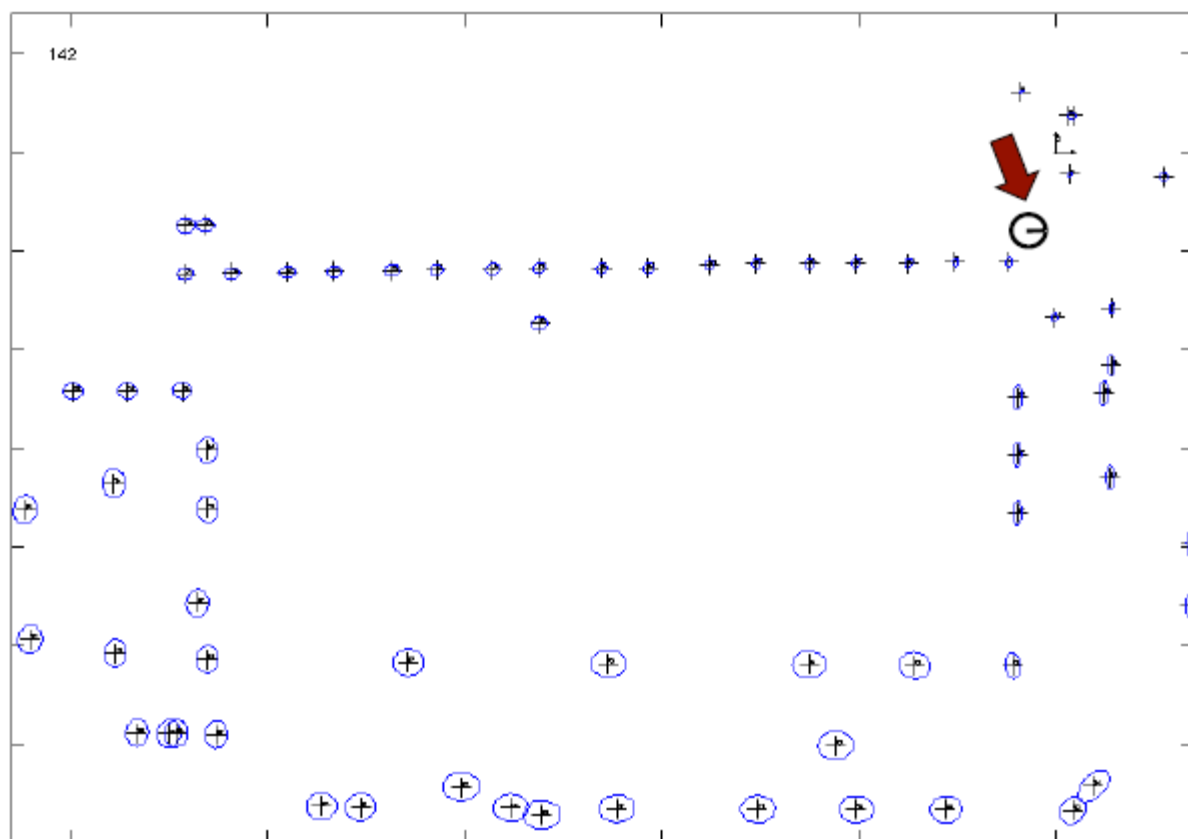
Замыкание контуров

- Замыкание контуров это распознавание ориентиров уже нанесенных на карту
- Неопределенность падает после замыкания контура
- Чувствительность к распознаванию ориентиров и возможной симметрии рабочей области

Замыкание контуров

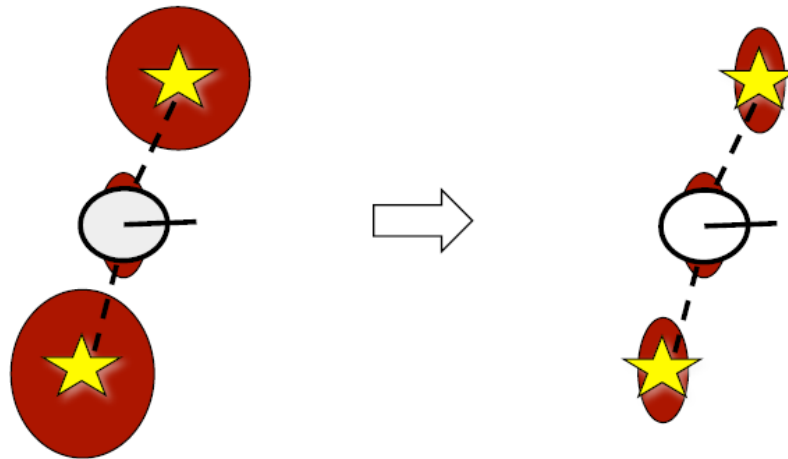


Замыкание контуров



Лимит неопределенности

- Получение оценки положения ориентиров никогда не может быть точнее чем начальная оценка положения робота



Резюме

- Первое решение SLAM задачи
- Доказана сходимость для линейных систем и нормальным распределением
- Может расходиться при существенных нелинейностях
- Рассматривается только одно состояние
- Вычислительная сложность растет с числом ориентиров

Следующая лекция

- Фильтр частиц